

[Pt₂(P₂O₅H₂)₄]⁴⁻和[Pt₂(P₂O₄CH₄)₄]⁴⁻基态和激发态性质的理论研究

郭元茹¹ 潘清江² 方桂珍^{*1} 刘志明¹

(¹ 东北林业大学材料科学与工程学院, 哈尔滨 150040)

(² 黑龙江大学化学化工与材料学院, 哈尔滨 150080)

摘要: 采用从头计算 MP2 和 CIS 方法分别优化等电子双核 d^8 配合物 $[\text{Pt}_2(\text{P}_2\text{O}_5\text{H}_2)_4]^{4-}$ 和 $[\text{Pt}_2(\text{P}_2\text{O}_4\text{CH}_4)_4]^{4-}$ 的基态和激发态结构。结果表明基态 Pt-Pt 距离分别为 0.2905 和 0.2987 nm, 与实验的 0.2925 和 0.2980 nm 符合。NBO 计算的 Pt-Pt 键级以及 Pt 原子间伸缩振动说明 Pt-Pt 相互作用具有吸引本质。CIS 计算揭示电子激发到 Pt-Pt 的 $\sigma(p_z)$ 成键轨道使得相互作用增强。保持激发态几何, 含时密度泛函理论(TD-DFT)计算的溶液发射分别为 449 和 475 nm, 与实验值 512 和 510 nm 接近。

关键词: 双核 d^8 配合物; 激发态; 从头计算; 含时密度泛函理论

中图分类号: O614.82·6 文献标识码: A 文章编号: 1001-4861(2007)03-0397-04

Ground- and Excited-State Properties of $[\text{Pt}_2(\text{P}_2\text{O}_5\text{H}_2)_4]^{4-}$ and $[\text{Pt}_2(\text{P}_2\text{O}_4\text{CH}_4)_4]^{4-}$: A Theoretical Study

GUO Yuan-Ru¹ PAN Qing-Jiang² FANG Gui-Zhen^{*1} LIU Zhi-Ming¹

(¹College of Material Science and Engineering, Northeast Forestry University, Harbin 150040)

(²School of Chemistry and Materials Science, Heilongjiang University, Harbin 150080)

Abstract: *Ab initio* MP2 and CIS methods were employed to optimize the ground- and excited-state structures of $[\text{Pt}_2(\text{P}_2\text{O}_5\text{H}_2)_4]^{4-}$ and $[\text{Pt}_2(\text{P}_2\text{O}_4\text{CH}_4)_4]^{4-}$, respectively, where the two structurally analogous complexes have an oxygen atom and a methylenic group in the ligand bridge. The Pt-Pt distances calculated in the ground state are 0.2905 and 0.2987 nm, which are in accordance with experimental values of 0.2925 and 0.2980 nm, respectively. The stretching vibration and bond order between the two Pt atoms indicate that the Pt-Pt interaction is attractive in nature. Upon excitation the Pt-Pt contraction trend is well reproduced in the CIS calculations. On the basis of the excited-state structures, TD-DFT achieved the result of the solution emissions at 449 and 475 nm, agreeing with experimental values of 512 and 510 nm, respectively.

Key words: binuclear d^8 complexes; excited state; *ab initio* calculations; TD-DFT

0 引言

近年, 双核 Pt(II)配合物, $[\text{Pt}_2(\text{P}_2\text{O}_5\text{H}_2)_4]^{4-}$ (pop), 的光谱和光化学性质引起科研工作者的极大兴趣^[1-5]。研究表明 pop 在室温溶液中拥有高强度的绿色磷光发射^[2,3], 其长的发光寿命(9.5 μs)和高量子产率(> 0.5)使得三重激发态(pop*)具有许多独特的光化

学性质, 因而应用于许多科学领域^[2-5]。例如: pop* 作单电子还原剂被硝酸淬灭产生 HNO_3^- 和 pop⁺^[4] 以及作单电子氧化剂被 $\text{OsCl}(\text{NH}_3)_5^{2+}$ 淬灭^[2] 等; 它可以从卤代烃提取卤原子和从具有 α -H 的醇中提氢^[3]; pop* 还可以氧化断裂 DNA 上特定位置的氢, 以合成限制性内切酶和应用于药物设计^[5]。对 pop 研究取得的成功极大地激发了对其他双核 d^8 的探索^[6-8]。其中

收稿日期: 2006-08-22。收修改稿日期: 2006-12-26。

黑龙江省自然科学基金项目(No.B200601); 黑龙江大学杰出青年基金项目(No.2007JC2006L2); 黑龙江省博士后项目(2006)资助。

*通讯联系人。E-mail: gyrlhit@yahoo.com.cn

第一作者: 郭元茹, 女, 31岁, 博士; 研究方向: 无机材料化学与结构性能研究。

$[\text{Pt}_2(\text{P}_2\text{O}_4\text{CH}_4)_4]^4$ (pcp)是与 pop 结构相似、等电子的配合物^[6],其差别在于 pop 拥有 O 桥连配体(HO)OP-O-PO(OH),而 pcp 的配体为 CH₂ 桥连。虽然两个配合物具有相似的光谱性质,但是 pcp* 的寿命仅为 55 ns,比 pop* 短很多。

到目前为止,已合成了大量 d⁸ 配合物,并对其晶体结构、光化学和光物理等性质进行了系统的研究^[1-3,6-8]。这些准确的实验数据为理论的发展提供了可靠的参考依据。本文中,使用从头计算方法探索了 pop 和 pcp 基态和激发态的电子结构,并运用含时密度泛函(TD-DFT)方法计算发射光谱。

1 计算方法

配合物 pop 和 pcp 的基态和激发态结构分别使用 MP2 和 CIS 方法优化,计算中配合物保持 C_{2h} 对称性。对大量分子激发态性质的研究表明虽然 CIS 能够较准确地描述激发态势能面,但往往高估电子激发能^[9],所以,采用准确性可以与高级组态相互作用方法相媲美的 TD-DFT 方法计算激发能^[10,11]可以得到更准确的电子激发能。由于对单分子计算仅对应配合物的气态行为,所以利用连续介质模型(PCM)^[12]模拟溶剂化效应,考虑溶剂水对发射能的影响。本文以 pop 为例考察不同方法(MP2 和 B3LYP)和基组(LANL2DZ 和 SDD)对分子结构的影响。通过与实验对比,选择合理方法和基组用于所有计算。另外,对 Pt 和 P 原子分别加入一个 f 极化函数($\alpha_f=0.18$)和一个 d 函数($\alpha_d=0.34$)^[9,13],以更好地描述 Pt-Pt 相互作用和得到准确的激发态势能面。所有计算都使用 Gaussian 98 程序完成^[12]。

2 结果与讨论

2.1 结构优化

表 1 列出了 MP2 和 B3LYP 方法结合 LANL2DZ 和 SDD 基组优化 pop 得到的基态几何参数。为便于比较,同时给出 K₄[Pt₂(P₂O₅H₂)₄]·2H₂O 的晶体结构数据^[1]。从表中可以看出,计算得到的大部分几何参数与实验值相近,最大键长(除 Pt-Pt 距离外)和键角偏差分别小于 0.009 nm 和 7°。由于方法的选择对几何参数影响较大,特别是对 Pt-Pt 距离影响较大,因此 B3LYP 计算得到的 Pt-Pt 距离比实验值约长 0.012 nm,与 Coppens 等人的计算结果相一致^[14]。这种对 Pt-Pt 距离的高估与 DFT 方法不能准确描述金属间弱相互作用有关。对于 MP2 计算,Pt-Pt 距离与实验值偏差小于 0.004 nm,这说明 MP2 方法能够较合理的描述金属间弱相互作用,因此同样使用 MP2 方法计算 pcp 的基态结构。另外,表 1 中的计算结果显示不同基组在同种方法下对分子结构影响很小,而 SDD 基组计算中包括 486 个基函数和 328 个电子,远多于 LANL2DZ 的 358 和 248,所以为节省计算资源,以下计算都使用 LANL2DZ 基组。

表 2 是在 MP2/LANL2DZ 级别上优化的 pop 和 pcp 基态几何参数^[13],其结构图绘于图 1。由表 2 可以看出计算的 2 个配合物的键长和键角与实验符合很好,如:计算得 Pt-Pt 距离分别为 0.290 5 和 0.298 7 nm,与实验的 0.292 5 和 0.298 0 nm^[1,6]接近。这些金属间距离比 van der Waals 半径 2 倍(0.32 nm)^[15]短,说明在配合物中有金属-金属弱相互作用。对于环状配合物中,配体的桥连作用使得金属间相互作用可能具有被迫的成分。所以,为考察 pop 和

表 1 优化的 $[\text{Pt}_2(\text{P}_2\text{O}_5\text{H}_2)_4]^4$ (pop) 的基态几何参数

Table 1 Optimized geometry parameters of $[\text{Pt}_2(\text{P}_2\text{O}_5\text{H}_2)_4]^4$ (pop) in the ground state

Methods	MP2		B3LYP		Exp.
	Basis sets	LANL2DZ	SDD	LANL2DZ	
Bond length / nm					
Pt-Pt	0.290 5	0.288 4	0.305 6	0.303 8	0.292 5
Pt-P	0.237 3	0.236 1	0.239 7	0.239 5	0.232 0
P-OH	0.166 2	0.165 7	0.164 0	0.164	0.157 9
P=O	0.157 6	0.157 4	0.157 5	0.157 4	0.151 9
P-Ob	0.171 2	0.170 8	0.169 5	0.169 6	0.162 3
Bond angle / (°)					
P-Pt-P	176.2	175.8	178.2	177.9	
P-Pt-Pt	91.9	89.9	90.0	90.0	90.7
P-Ob-P	127.0	127.0	135.0	134.3	133.3

表2 优化的[Pt₂(P₂O₅H₂)₄]⁺(pop)和[Pt₂(P₂O₄CH₄)₄]⁺(pcp)基态和三重激发态几何参数Table 2 Optimized geometry parameters of [Pt₂(P₂O₅H₂)₄]⁺ (pop) and [Pt₂(P₂O₄CH₄)₄]⁺ (pcp) using the MP2 method for the ¹A_g ground state and the CIS method for the ³A_u excited state

Parameters	pop			pcp		
	¹ A _g	Exp.	³ A _u	¹ A _g	Exp.	³ A _u
Bond length / nm						
Pt-Pt	0.290 5	0.292 5	0.288 1	0.298 7	0.298 0	0.295 7
Pt-P	0.237 3	0.232 0	0.240 5	0.236 8	0.232 8	0.240 6
P-OH	0.166 2	0.157 9	0.161 6	0.169 6	0.160 8	0.164 8
P=O	0.157 6	0.151 9	0.153 5	0.159 4	0.153 0	0.155 1
P-O _b /C	0.171 2	0.162 3	0.165 1	0.186 9		0.184 8
P···P	0.306 3	0.298 0	0.303 4	0.318 9		0.316 2
Bond angle / (°)						
P-Pt-P	176.2		176.4	175.1		175.1
P-Pt-Pt	91.9	90.7	91.8	92.5	91.8	92.4
P-O _b /C-P	127.0	133.3	133.6	117.2	117.1	117.6

pcp 中 Pt-Pt 相互作用是吸引本质还是被迫的, 又对该配合物进行了 NBO 和频率计算。由于 d^8 - d^8 配合物的 $(d\sigma)^2(d\sigma^*)^2$ 电子组态使得其键级为零, 应该无吸引作用, 所以可以通过 NBO 方法计算 Pt 原子间的键级验证其相互作用本质。计算结果表明 Pt-Pt 键级分别为 0.024 和 0.020, 这为配合物中 Pt-Pt 之间具有相互吸引作用提供了证据。同时, 在 MP2/LANL2DZ 级别上, 对配合物进行频率计算, 没有得到虚频, 这说明该几何位于势能面的能量极小值点, 其中 133 cm^{-1} (pop) 和 114 cm^{-1} (pcp) 的振动频率被指认为 Pt-Pt 伸缩振动, 进一步证明了 Pt-Pt 的吸引作用。而共振 Raman 光谱研究发现 pop 和 pcp 分别在 118 和 113 cm^{-1} 拥有 Pt-Pt 伸缩振动^[2,6], 这与本文的计算结果相对应。目前, 大量的文献对双核 d^8 配合物进行了理论研究, 如: Novoa 等人^[16]对开环配合物 *cis*-[PtCl₂(CO)₂]₂、[PtCl₂(HNCH(OH))₂] 和 [RhCl(CO)₃]₂ 的研究结果表明金属间存在相互吸引作用, 相互作用

能在 $12 \text{ kcal}\cdot\text{mol}^{-1}$ 左右, 相当于氢键键能。

CIS/LANL2DZ 计算揭示配合物 pop 和 pcp 具有 ³A_u 电子激发态。计算得到的激发态 Pt-Pt 距离为 0.288 1 和 0.295 7 nm, 比基态短约 0.003 nm, 而 Pt-P 键长却增长了 0.003 nm。由于双核 Pt 配合物拥有 σ (p_z) 性质的 LUMO 轨道和 $\sigma^*(d_z^2)$ 的 HOMO 轨道, 电子激发进入 $\sigma(p_z)$ 成键轨道使得激发态 Pt-Pt 相互作用的增强。相应地, 电子从金属的 d_z^2 跃迁到 p_z 削弱了 P \rightarrow Pt 配位键作用。目前, Franck-Condon 分析^[17]、共振 Raman 光谱^[2] 和时间分辨 X-ray 衍射^[14] 等方法已经证明配合物 pop 的激发态 Pt-Pt 相互作用相对基态增强, 这肯定了我们计算结果的正确。

2.2 发射光谱

以 CIS 优化的激发态几何为基础, 通过 TD-DFT (B3LYP) 计算得到配合物 pop 和 pcp 的发射光谱, 对于配合物的气态发射。由于溶剂分子对发光的影响, 因此计算中包括 PCM 模型, 得到的是在水溶液中的发射光谱。发射光谱值列于表 3 中, 同时提供了实验观测值^[2,6]。配合物的气态发射计算表明, 相对 TD-DFT, CIS 高估发射能约 1.0 eV。例如: CIS 计算 pop 的磷光发射为 $329 \text{ nm} / 3.76 \text{ eV}$, 比 TD-DFT 的发射 $444 \text{ nm} / 2.79 \text{ eV}$ 高很多。

在 TD-DFT 级别上, pop 和 pcp 分别在 444 和 465 nm 处具有磷光发射。计算表明该发射是 HOMO \rightarrow LUMO 激发组态贡献, 该组态决定发射的跃迁性质。如: pcp 的 HOMO 具有 σ^* 反键性质, 主要由 $61.2\% d_z^2$ 成分构成, 而 LUMO 轨道为 $61\% p_z$ 和

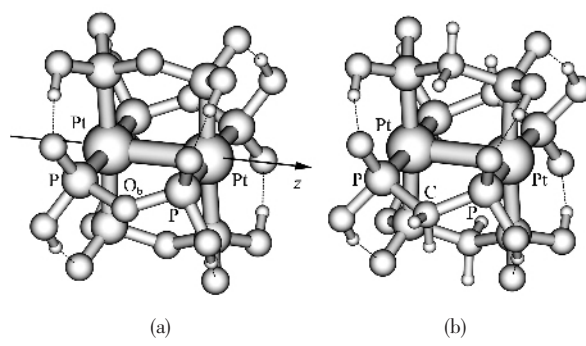


图1 pop(a)和pcp(b)的几何结构
Fig.1 Structures of pop (a) and pcp (b)

表3 计算得到 pop 和 pcp 在气态和溶液中的发射光谱

Table 3 Calculated emissions (nm / eV) of pop and pcp in the gas phase and aqueous solution

	pop		pcp	
	Gas	Solution	Gas	Solution
CIS	329 / 3.76		331 / 3.74	
TD-DFT	444 / 2.79	449 / 2.76	465 / 2.66	475 / 2.61
Exp.		512 / 2.40		510 / 2.43

9% s 混合形成的 σ 成键轨道。所以 pcp 的 465 nm 发射被指认为 $\sigma^*(d_z) \rightarrow \sigma(p_z)$ (Metal-centered, MC) 跃迁。为直观地理解 pcp 的 MC 跃迁发光, 图 2 绘出了这一发射的分子轨道电子云图(|CI 波函数组合系数| > 0.1)。对比 HOMO 和 LUMO 轨道, 跃迁前后集中在 P 和 O 原子周围的电子云几乎没有变化, 而 Pt 的轨道性质发生了明显变化, 这表明电子跃迁主要发生在金属中心部分。由图可知基态时 HOMO 轨道中电子云集中 Pt 周围, 具有明显 $\sigma^*(d_z)$ 轨道性质, 而在激发态时电子跃迁到了具有 $\sigma(p_z)$ 成键性质 LUMO 轨道上, 这使得 Pt-Pt 之间几乎形成 σ 键。电子云图为对我们对 pcp 发射态的指认提供了更为直观的证据。类似地, pop 的发射也具有 MC 跃迁属性。

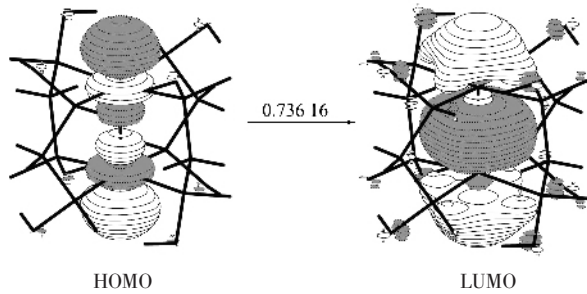


图2 TD-DFT计算的 pcp 的 465 nm 磷光发射
(|CI coefficient| > 0.1) 的单电子跃迁图

Fig.2 Single electron transitions with |CI coefficient| > 0.1 in the TD-DFT calculations for the 465 nm phosphorescent emission of pcp

TD-DFT/PCM 计算得到了配合物 pop 和 pcp 在水溶液中的发射, 分别为 449 和 475 nm, 与实验值 512 和 510 nm 相对应^[2,6]。激发态波函数分析显示溶液发射同样具有 $\sigma^*(d_z) \rightarrow \sigma(p_z)$ 跃迁性质。另外, 计算得到的气态和溶液二者的发射波长很接近, 这说明了配合物与溶剂之间相互作用很弱。

参考文献:

- [1] Filomena dos Remedios Pinto M A, Sadler P J, Neidle S, et al. *J. Chem. Soc., Chem. Comm.*, **1980**:13~15
- [2] Fordyce W A, Brummer J G, Grosby G A. *J. Am. Chem. Soc.*, **1981**, **103**:7061~7064
- [3] Roundhill D M, Gray H B, Che C M. *Acc. Chem. Res.*, **1989**, **22**:55~61
- [4] Hurst J K, Thompson D H P, Connolly J S. *J. Am. Chem. Soc.*, **1987**, **109**:507~515
- [5] Kalsbeck W A, Grover N, Thorp H H. *Angew. Chem. Int. Ed. Engl.*, **1991**, **30**:1517~1518
- [6] King C, Auerbach R A, Fronczek F R, et al. *J. Am. Chem. Soc.*, **1986**, **108**:5626~5627
- [7] Xia B H, Che C M, Phillips D L, et al. *Inorg. Chem.*, **2002**, **41**:3866~3875
- [8] Kobayashi A, Kojima T, Ikeda R, et al. *Inorg. Chem.*, **2006**, **45**:322~327
- [9] Foresman J B, Head-Gordon M, Pople J A, et al. *J. Phys. Chem.*, **1992**, **96**:135~149
- [10] Casida M E, Jamorski C, Casida K C, et al. *J. Chem. Phys.*, **1998**, **108**:4439~4449
- [11] Guo Y R, Pan Q J, Fang G Z, et al. *Chem. Phys. Lett.*, **2005**, **413**:59~64
- [12] Frisch M J, Trucks G W, Schlegel H B, et al. *Gaussian 98, Revision A.11*, Gaussian, Inc., Pittsburgh PA, **1998**.
- [13] Pan Q J, Fu H G, Yu H T, et al. *Inorg. Chem.*, **2006**, **45**:8729~8735
- [14] Novozhilova I V, Volkov A V, Coppens P. *J. Am. Chem. Soc.*, **2003**, **125**:1079~1087
- [15] Bondi A. *J. Phys. Chem.*, **1964**, **68**:441~451
- [16] Novoa J J, Aullón G, Alemany P, et al. *J. Am. Chem. Soc.*, **1995**, **117**:7169~7171
- [17] Brummer J G, Crosby G A. *Chem. Phys. Lett.*, **1984**, **112**:15~19